

01;05

# Термоориентационный эффект в нематическом жидком кристалле

© С.И. Трашкеев, А.В. Бритвин

Институт лазерной физики СО РАН,  
630090 Новосибирск, Россия  
e-mail: sitrskv@mail.ru

(Поступило в Редакцию 19 октября 2010 г.)

Предложена и обоснована система уравнений, описывающая термоориентационный эффект в нехиральных жидких кристаллах, наблюдавшийся ранее. Эффект переориентации директора под действием градиента температуры во многом аналогичен переходу Фредерикса в электрическом или магнитном поле. Угол отклонения директора от начального положения определяется квадратом градиента температуры. Эффект наблюдается для исходно однородно ориентированного нематического жидкого кристалла и в установившемся режиме не сопровождается макроскопическими потоками среды.

## Введение

Вопросу взаимодействия жидких кристаллов (ЖК) с тепловыми потоками посвящено довольно большое количество как теоретических, так и экспериментальных работ. В настоящее время одним из наиболее изученных является термомеханический эффект Лемана — поворот молекул холестерических ЖК в поле градиента температуры [1,2]. Показано, что этот эффект связан с отсутствием зеркальной симметрии холестерина и, следовательно, не может иметь аналога в случае нехиральных ЖК, и в первую очередь нематических ЖК (НЖК) [3]. В начале 1980-х гг. Р.С. Акопяном и Б.Я. Зельдовичем [4] было высказано предположение о возможности термомеханического эффекта в НЖК, имеющем исходную пространственно неоднородную ориентацию директора. Предсказанное динамическое взаимодействие, линейное по градиенту температуры, как и эффект Лемана, было достаточно убедительно подтверждено экспериментально [5,6], хотя дискуссии по этому вопросу ведутся до сих пор [7,8]. В работе [9] противоречия, отмеченные в [7], объяснялись незамкнутостью системы. Рассматриваемый в настоящей работе случай ориентационного термоупругого взаимодействия, не обсуждавшийся ранее в литературе, относится к эффектам в открытых системах и имеет квадратичный характер по градиенту температуры. Данный тип взаимодействия был зарегистрирован экспериментально и описан в работе [1], где высказано предположение об аналогии наблюдавшегося явления с переориентацией Фредерикса в стационарных электромагнитных полях. В работе [1] предложены модель явления и соответствующая система уравнений, требующая более строгого обоснования, которое представлено в данной работе.

По-видимому, впервые обсуждаемый термоориентационный эффект наблюдался авторами работы [10], где исследовалась переориентация директора НЖК в неоднородном температурном поле, возникающем в результате локального поглощения лазерного излучения средой. Физическая модель явления, предложенная в [10], связывает переориентацию директора с флексоэлектрическим

эффектом. Авторы не согласны с предложенной в [10] трактовкой, несмотря на то что уравнение для ориентации директора записано в форме, схожей с приведенной в [1] и в настоящей работе. Основное возражение заключается в том, что стационарная флексоэлектрическая переориентация в НЖК практически невозможна (см., например, [11]). Причина нестационарности такой переориентации в том, что НЖК обладает заметной проводимостью, и возникшие вследствие флексоэлектрического эффекта заряды стекают за время порядка или менее  $10^{-2}$  с [11], вследствие чего поляризация среды и связанная с ней переориентация директора должны исчезнуть. Это противоречит данным [10] о стационарности наблюдавшегося эффекта.

## Вывод основных уравнений

В рамках [4,6,8,9] для описания термомеханического эффекта феноменологически предполагалась дополнительная (аддитивная) зависимость тензора напряжений с учетом присущей НЖК симметрии в виде линейной функции от градиента температуры  $T$ :

$$\Sigma_{ij}^{ilm} = \beta_{ijklp} \frac{\partial T}{\partial x_k} \frac{\partial n_l}{\partial x_p}, \quad (1)$$

где термомеханический тензор  $\beta_{ijklp}$  может зависеть от нечетных степеней директора. При такой постановке из (1) (кроме необходимости предварительной деформации однородного состояния директора) в силу гидродинамических уравнений движения Эриксона–Лесли [11] следует, что в НЖК всегда присутствует макроскопическое перемещение жидкости,  $v \neq 0$ . В рассматриваемом нами термоупругом взаимодействии эти положения могут не выполняться.

Как предложено в работе [12], для полной характеристики структурных недиссипативных изменений в ЖК необходимо записать общий лагранжиан (в стационарном случае — плотность свободной энергии) так, чтобы при его вариации получалась замкнутая система

уравнений равновесия для всех переменных, входящих в рассматриваемую задачу.

В стационарном случае при отсутствии макроскопического течения жидкости ( $\mathbf{v} = 0$ ) переменными, описывающими систему НЖК, находящегося в температурном поле  $T = T(\mathbf{r})$ , являются директор  $\mathbf{n} = \mathbf{n}(\mathbf{r})$  и температура  $T$ , что следует из теории переноса тепла для несжимаемой нематической жидкости [11,13]. Стационарное состояние описывается уравнениями равновесия директора и уравнением теплопроводности в анизотропной жидкости. Чтобы их получить, на основе вариации единого функционала плотности свободной энергии запишем

$$F = F_{el} + F_{thr}, \quad (2)$$

где  $F_{el}$  — упругая составляющая, определяемая соотношением [11]:

$$F_{el} = \frac{1}{2} \{ K_1 (\text{div } \mathbf{n})^2 + K_2 (\mathbf{n} \text{ rot } \mathbf{n})^2 + K_3 (\mathbf{n} \text{ rot } \mathbf{n})^2 \}; \quad (3)$$

$\mathbf{n}$  — директор,  $(\mathbf{n}, \mathbf{n}) = 1$ ;  $K_i$  — упругие константы Франка;  $F_{thr}$  — термическая часть энергии, вариация которой по температуре должна давать уравнение анизотропной теплопроводности вида [11,13]

$$\text{div}(\hat{\lambda} \nabla T) = \frac{\partial}{\partial x_i} \left( \lambda_{ij} \frac{\partial T}{\partial x_j} \right) = 0. \quad (4)$$

Значения элементов тензора теплопроводности  $\hat{\lambda} = [\lambda_{ij}]$  определяются соотношением

$$\lambda_{ij} = \lambda_{\perp} \delta_{ij} + \lambda_a n_i n_j, \quad \lambda_a = \lambda_{\parallel} - \lambda_{\perp}, \quad (5)$$

где  $\lambda_{\parallel}, \lambda_{\perp}$  — коэффициенты теплопроводности вдоль и поперек директора  $\mathbf{n}$ ;  $\delta_{ij}$  — символ Кронекера. Для того чтобы удовлетворить стационарному уравнению анизотропной теплопроводности, значение термической добавки  $F_{thr}$ , удовлетворяющей симметрии НЖК ( $\mathbf{n} \equiv -\mathbf{n}$ ), необходимо выбрать в виде квадратичной формы от вектора  $\nabla T$

$$F_{thr} = -\frac{1}{2} [\alpha_{\perp} (\nabla T)^2 + \alpha_a (\mathbf{n} \nabla T)^2], \quad (6)$$

где термический тензор  $\alpha_{ij}$  определяется аналогично (5):

$$\alpha_{ij} = \alpha_{\perp} \delta_{ij} + \alpha_a n_i n_j, \quad \alpha_a = \alpha_{\parallel} - \alpha_{\perp} \quad (7)$$

и имеет размерность  $[\alpha_{ij}] = \text{N/K}^2$ . Вариация (6) по градиенту температуры (тензор  $\hat{\alpha} = [\alpha_{ij}]$  считаем не зависящим от температуры) дает уравнение

$$\begin{aligned} \frac{\delta F_{thr}}{\delta T} &= \text{div}(\hat{\alpha} \nabla T) = \frac{\partial}{\partial x_i} \left( \alpha_{ij} \frac{\partial T}{\partial x_j} \right) \\ &= \alpha_{\perp} \Delta T + \alpha_a \text{div}[\mathbf{n}(\mathbf{n} \nabla T)] = 0. \end{aligned} \quad (8)$$

Сравнив (4) и (5) с (7) и (8), получим, что термический тензор должен быть пропорционален тензору теплопроводности:

$$\alpha_{ij} = \eta \lambda_{ij}. \quad (9)$$

Коэффициент пропорциональности  $\eta$  в (9) имеет размерность  $\text{s/K}$ .

Значение  $\alpha_a$  (или  $\eta$ ) по порядку величины можно оценить из размерностных соображений. Введенный в работе [4] коэффициент  $\beta_{ijklp}$  термомеханического эффекта (см. (1)) имеет размерность  $[\beta_{ijklp}] = \text{N/K}$ . Следовательно, можно полагать

$$|\alpha_a| \approx \frac{\beta^2}{K} \approx 10^{-11} [\text{N/K}^2],$$

$$|\eta| \approx \left| \frac{\alpha_a}{\lambda_a} \right| = \frac{\beta^2}{K |\lambda_a|} \approx 10^{-10} [\text{s/K}], \quad (10)$$

где  $K \approx 10^{-11} \text{ N}$  — характерное значение упругой константы Франка,  $\lambda_a \approx 0.1 \text{ W}/(\text{m} \cdot \text{K})$  и, согласно [4] для среднего значения,  $\beta \approx \beta_{ijklp} \approx 10^{-11} \text{ N/K}$ . Характерная величина температурного градиента, необходимого для внесения в ориентацию НЖК искажения, можно оценить, сравнив в (2) вклады упругой (3) и анизотропной термической (6) составляющих:

$$F_{el} \approx \alpha_a (\mathbf{n} \nabla T)^2 \rightarrow \frac{K}{L^2} \approx \alpha_a \left( \frac{\Delta T}{L} \right)^2. \quad (11)$$

Из (11) следует порядок величины температурного перепада:

$$\Delta T \approx \sqrt{\frac{K}{|\alpha_a|}} \approx 1 \text{ K}, \quad (12)$$

что вполне достижимо в экспериментальных условиях. Аналогичная величина получается, если рассмотреть предполагаемый эффект на молекулярном уровне, как это сделано в [4] для оценки термомеханического коэффициента. Величины (10), (12) согласуются с измерениями, проведенными в [1].

Система уравнений, описывающих термодетормацию в НЖК, получается после вариации (2), (3) и (6) по переменным  $\mathbf{n}$  и  $T$ , при этом коэффициенты, входящие в функционал, берутся при постоянной температуре. Значение плотности свободной энергии (2), записанное для упрощения в одноконстантном приближении, принимает вид

$$F = \frac{K}{2} [(\nabla \theta)^2 + \sin^2 \theta (\nabla \varphi)^2] - \frac{\alpha_{\perp}}{2} (\nabla T)^2 - \frac{\alpha_a}{2} (\mathbf{n} \nabla T)^2, \quad (13)$$

где компоненты директора  $\mathbf{n}$  в упругой части выражения (3) представлены через полярный  $\theta$  и азимутальный  $\varphi$  углы в следующей форме:

$$\mathbf{n} = (n_x, n_y, n_z) = (\sin \theta \cos \varphi, \sin \theta \sin \varphi, \cos \theta). \quad (14)$$

Функционал (13) эквивалентен выражению для свободной энергии, описывающей взаимодействие НЖК с квазистационарным электрическим полем при переориентации Фредерикса [11] с формальной заменой:

$$\mathbf{E} = -\nabla U \rightarrow -\nabla T, \quad \frac{\varepsilon_{\perp}}{4\pi} \rightarrow \alpha_{\perp}, \quad \frac{\varepsilon_{\parallel}}{4\pi} \rightarrow \alpha_{\parallel}. \quad (15)$$

Как следует из (13) и аналогии с эффектом Фредерикса, отличием термической переориентации в НЖК от термомеханического эффекта [4] являются необязательность предварительной деформации однородного состояния директора и возможность стационарного состояния искаженной ориентации без сопутствующего макроскопического переноса жидкости,  $\mathbf{v} = 0$ . Последнее утверждение верно в случае отсутствия термомеханического эффекта,  $\beta_{ijklp} = 0$ .

Вариация плотности свободной энергии (13) по переменным  $\theta$ ,  $\varphi$  и  $T$  дает уравнения равновесия вида

$$\begin{aligned} K[\Delta\theta - \sin\theta \cos\theta(\nabla\varphi)^2] + \alpha_a(\mathbf{m}\nabla T)(\mathbf{n}\nabla T) &= 0, \\ K\operatorname{div}(\sin^2\theta\nabla\varphi) + \alpha_a \sin\theta(\mathbf{p}\nabla T)(\mathbf{n}\nabla T) &= 0, \\ \lambda_{\perp}\Delta T + \lambda_a \operatorname{div}[\mathbf{n}(\mathbf{n}\nabla T)] &= 0, \end{aligned} \quad (16)$$

где  $\mathbf{m}$  и  $\mathbf{p}$  — вспомогательные единичные векторы, ортогональные к  $\mathbf{n}$  и определяемые соотношениями

$$\begin{aligned} \mathbf{m} &= (m_x, m_y, m_z) = \frac{\partial \mathbf{n}}{\partial \theta} \\ &= (\cos\theta \cos\varphi, \cos\theta \sin\varphi, -\sin\theta), \\ \mathbf{p} &= (p_x, p_y, p_z) = \frac{1}{\sin\theta} \frac{\partial \mathbf{n}}{\partial \varphi} = (-\sin\varphi, \cos\varphi, 0), \\ (\mathbf{nm}) &= 0, \quad (\mathbf{np}) = 0, \quad (\mathbf{pm}) = 0. \end{aligned} \quad (17)$$

Учет динамики термоориентационных процессов в общем виде требует рассмотрения гидродинамических ( $\mathbf{v} \neq 0$ ) уравнений Эриксона–Лесли [11] с учетом диссипативных процессов и термомеханического ( $\beta_{ijklp} \neq 0$ ) эффекта [4]. В рассматриваемом случае это приведет (по аналогии с переходом Фредерикса) к возникновению обратных потоков и незатухающего термомеханического перемещения нематической жидкости. В данной работе для краткости ограничимся уравнениями в приближении отсутствия гидродинамических потоков ( $\mathbf{v} = 0$ ). Так, следуя [13], с учетом обозначений (14), (17) получаем

$$\begin{aligned} \gamma \frac{\partial \theta}{\partial t} &= K[\Delta\theta - \sin\theta \cos\theta(\nabla\varphi)^2] + \alpha_a(\mathbf{m}\nabla T)(\mathbf{n}\nabla T), \\ \gamma \sin^2\theta \frac{\partial \varphi}{\partial t} &= K\operatorname{div}(\sin^2\theta\nabla\varphi) + \alpha_a \sin\theta(\mathbf{p}\nabla T)(\mathbf{n}\nabla T), \\ C \frac{\partial T}{\partial t} &= \lambda_{\perp}\Delta T + \lambda_a \operatorname{div}[\mathbf{n}(\mathbf{n}\nabla T)] \\ &+ \gamma \left[ \left( \frac{\partial \theta}{\partial t} \right)^2 + \sin^2\theta \left( \frac{\partial \varphi}{\partial t} \right)^2 \right] + Q, \end{aligned} \quad (18)$$

где  $\gamma$  — вращательная вязкость;  $C = c_{sp}\rho$ ;  $c_{sp}$ ,  $\rho$  — удельная теплоемкость и плотность НЖК;  $Q$  — объемное тепловыделение от внешних источников, которые могут отсутствовать. При решении системы уравнений необходимо учитывать температурные зависимости входящих в (18) коэффициентов, что нельзя делать при

выполнении процедуры варьирования. Последнее является следствием того факта, что функционал свободной энергии сам является разложением в ряд по степеням искомым переменных и их градиентов [13]. Слагаемое в квадратных скобках в уравнении теплопроводности описывает тепловыделение вследствие вращения директора в вязкой среде и определяется через релаксационный потенциал  $R$  [13] в виде

$$2R = \gamma \left( \frac{\partial n}{\partial t} \right)^2 = \gamma \left[ \left( \frac{\partial \theta}{\partial t} \right)^2 + \sin^2\theta \left( \frac{\partial \varphi}{\partial t} \right)^2 \right]. \quad (19)$$

Диссипативная добавка (19), как отмечалось в [9], нарушает симметрию по отношению к обращению времени, поэтому энтропия такой неизолированной системы может меняться.

Для полной математической постановки задачи уравнения (18) необходимо дополнить граничными и начальными условиями, которые определяются конкретной постановкой задачи. В частности, тепловой поток на тепловыделяющей поверхности, расположенной вдоль оси  $x$  и соответствующий условиям эксперимента [1], задается в виде кусочно-гладкой периодической зависимости.

$$g \frac{\partial T}{\partial z} \Big|_{sf} = W\Pi(x), \quad (20)$$

где  $g$  — коэффициент теплоотдачи размерности  $W/(m \cdot K)$ , определяемый геометрией нагревающей полосы [1], толщиной зазора НЖК  $L$  и ограничивающего верхнего стекла  $d \gg L$ , а также коэффициентами теплопроводности для обеих сред;  $W$  — тепловой поток, выделяемый за счет тока, протекающего по нагревательной полосе;  $\Pi$  — периодическая кусочно-гладкая функция с единичной амплитудой.

Наблюдение эффекта осуществлялось в поляризованном свете, поэтому для сравнения результатов расчета с экспериментом вычислялось изменение потока, линейно поляризованного в заданной плоскости света при прохождении им образца ЖК. Направление директора оказывает влияние на набег фазы необыкновенной волны  $\psi$ , прошедшей через ЖК. В приближении геометрической оптики  $\psi$  описывается уравнением эйконала для одноосной среды

$$\begin{aligned} \frac{[\mathbf{n} \times \nabla \psi]^2}{\varepsilon_{\parallel}} + \frac{(\mathbf{n}\nabla\psi)^2}{\varepsilon_{\perp}} &\equiv \frac{(\mathbf{m}\nabla\psi)^2}{\varepsilon_{\parallel}} \\ &+ \frac{(\mathbf{p}\nabla\psi)^2}{\varepsilon_{\parallel}} + \frac{(\mathbf{n}\nabla\psi)^2}{\varepsilon_{\perp}} = 1, \end{aligned} \quad (21)$$

где  $\varepsilon_{\parallel}$ ,  $\varepsilon_{\perp}$  — диэлектрические постоянные на световой частоте вдоль и поперек директора  $\mathbf{n}$ , определяющие показатели преломления  $n_{\parallel} = \varepsilon_{\parallel}^{1/2}$  и  $n_{\perp} = \varepsilon_{\perp}^{1/2}$  вдоль главных осей ЖК.

Анализ простых случаев термодформаций при учете (15) можно найти во многих учебниках и монографиях, описывающих переориентацию Фредерикса (см., например, [11]). Остановимся более подробно на случае,

описывающем эксперимент работы [1]. НЖК занимает объем в виде плоскопараллельного слоя толщиной  $L$  и не имеет внешних источников тепловыделения  $Q = 0$ . Переориентация директора задается одним углом  $\theta$  ( $\varphi = 0$ ), лежащим в выбранной плоскости  $x, y$ . Уравнения (18) для  $\theta = \theta(t, x, y)$  и  $T = T(t, x, y)$  с учетом различия между упругими константами Франка из (3) принимают вид

$$\begin{aligned} \gamma \frac{\partial \theta}{\partial t} &= K_3 \Delta \theta + (K_1 - K_3) (\mathbf{m} \nabla (\mathbf{m} \nabla \theta)) \\ &\quad + \alpha_a (\mathbf{n} \nabla T) (\mathbf{m} \nabla T), \\ C \frac{\partial T}{\partial t} &= \lambda_{\perp} \Delta T + \lambda_a \nabla (\mathbf{n} (\mathbf{n} \nabla T)) + \gamma \left( \frac{\partial \theta}{\partial t} \right)^2, \quad (22) \\ -\infty < x < \infty, \quad 0 \leq y \leq L, \end{aligned}$$

где векторы и дифференциальные операторы имеют двумерную форму:

$$\begin{aligned} \mathbf{n} &= (\sin \theta, \cos \theta), \quad \mathbf{m} = (\cos \theta, -\sin \theta), \\ \Delta &= \frac{\partial^2}{\partial x^2} + \frac{\partial^2}{\partial y^2}, \quad \nabla = \left( \frac{\partial}{\partial x}, \frac{\partial}{\partial y} \right). \quad (23) \end{aligned}$$

Уравнение эйконала (21) записывается в виде

$$\frac{(\mathbf{m} \nabla \psi)^3}{\varepsilon_{\parallel}} + \frac{(\mathbf{n} \nabla \psi)^2}{\varepsilon_{\perp}} = 1. \quad (24)$$

В случае пренебрежения рефракцией из (24) получается известное [11,15,16] соотношение, определяющее фазу световой волны на выходе из образца  $\psi_L(x)$  в зависимости от показателя преломления необыкновенной волны  $n_e$  для частоты  $\omega$ :

$$\begin{aligned} \psi_L(x) &= \frac{\omega}{c} \psi(x, L) = \frac{\omega}{c} \int_0^L n_e(x, y) dy, \\ n_e^2(x, y) &= \frac{\varepsilon_{\parallel} \varepsilon_{\perp}}{\varepsilon_{\perp} + (\varepsilon_{\parallel} - \varepsilon_{\perp}) \cos^2 \theta(x, y)}. \end{aligned}$$

Уравнения (18), (21) и их двумерный вариант (22), (24) исследовались с использованием численных методов. Приведенные системы уравнений являются нелинейными и в общем виде (при произвольном значении входящих в уравнения параметров) могут реализовать разнообразные типы решений вплоть до формирования волновых и разрывных зависимостей. В настоящей работе не приводится полный математический анализ полученных систем уравнений.

## Моделирование эксперимента

Для моделирования эксперимента, описанного в работе [1], необходимо задать граничные условия, соответствующие кусочно-гладкому с периодом  $\Lambda$  тепловыделению на верхней поверхности ( $y = L$ ), заданной

температуре  $T_0$  на нижней ( $y = 0$ ) и фиксированному значению угла  $\theta = \theta_0$  на обеих поверхностях ( $y = 0, L$ ) для жесткой граничной ориентации директора НЖК. По переменной  $x$  наиболее приемлемыми являются периодические граничные условия с выбором расчетного размера области вдоль  $x$ , кратного  $\Lambda$ . Если переписать (22) в безразмерной форме, то система уравнений принимает вид

$$\begin{aligned} \frac{\partial \theta}{\partial t'} &= \theta_{ii} - K'_a m_i \frac{\partial}{\partial x'_i} (m_j \theta_j) + \alpha'_a n_i m_j T_i T'_j, \\ \frac{\partial T'}{\partial t'} &= \lambda' \frac{\partial}{\partial x'_i} [(\delta_{ij} + \lambda'_a n_i n_j) T'_j] + \gamma' \left( \frac{\partial \theta}{\partial t'} \right)^2, \quad (25) \\ i, j &= 1, 2 = x', y', \quad -\Lambda' < x' < \Lambda', \quad 0 < y' < 1. \end{aligned}$$

Граничные условия записывались следующим образом:

$$\theta|_{y'=0,1} = \theta_0, \quad T'|_{y'=0} = 0,$$

$$\begin{aligned} \frac{\partial T'}{\partial z'} \Big|_{y'=1} &= \begin{cases} 1, & (k - \frac{1}{4})\Lambda' \leq x' \leq (k + \frac{1}{4})\Lambda', \\ 0, & (k + \frac{1}{4})\Lambda' < x' < (k + \frac{3}{4})\Lambda', \end{cases} \quad (26) \\ k &= 0, \pm 1, \pm 2, \dots \end{aligned}$$

В (25), (26) все геометрические параметры измеряются в единицах  $L$  ( $x = Lx'$ ,  $y = Ly'$ ), время  $t = (\gamma L^2 / \pi^2 K_3) t'$ , индексы у искомого скалярных величин  $\theta(t', x', y')$  и  $T(t', x', y')$  соответствуют дифференцированию по безразмерным координатам  $x', y'$ ;  $n_i, m_i$  — декартовы компоненты векторов  $\mathbf{n}$  и  $\mathbf{m}$  из (23), по повторяющимся индексам подразумевается суммирование. Остальные параметры и температура, помеченные штрихами, представляют собой следующие комбинации размерных величин:

$$\begin{aligned} T' &= \frac{T - T_0}{T_L} = \frac{g}{W} \frac{T - T_0}{L}, \quad \Lambda' = \frac{\Lambda}{L}, \quad K'_a = \frac{K_3 - K_1}{K_3}, \\ \alpha'_a &= \pi^2 \frac{\alpha_a}{K_3} T_L^2 = \eta \frac{\pi^2 \lambda_a}{K_3} T_L^2 = \pi^2 \frac{\alpha_a}{K_3} \left( \frac{WL}{g} \right)^2, \quad (27) \\ \lambda' &= \lambda_{\perp} \frac{\gamma}{\pi^2 C K_3}, \quad \lambda'_a = \frac{\alpha_a}{\alpha_{\perp}} = \frac{\lambda_a}{\lambda_{\perp}}, \\ \gamma' &= \frac{\pi^2 K_3}{C T_L L^2} = \frac{\pi^2 g K_3}{C W L^3}. \end{aligned}$$

Параметр внешнего воздействия  $T_L = WL/g$  в первом соотношении для безразмерной температуры (27) можно трактовать как эффективную температуру верхней границы НЖК.

Для расчета установившихся решений ( $t \rightarrow \infty$ ) начальные условия не имеют принципиального значения. Для получения стационарного состояния системы начальные условия выбирались в виде периодической функции по обоим пространственным переменным с добавкой постоянной составляющей в случае ненулевых граничных условий для директора и в виде произведения квадратичного по  $z$  полинома и периодической по  $x$  функций для температуры слоя НЖК.

Уравнение эйконала (24) в безразмерных переменных записывается очевидным образом. Параметры НЖК, входящие в определение (27), были взяты из монографий [14,15] и цитируемой там литературы. В общем виде температурные зависимости параметров при численном решении интерполировались сплайнами не выше третьего порядка. Как показали расчеты с учетом точности измерений [1] и в температурных интервалах, не превышающих  $5-7^\circ$  от комнатной температуры для НЖК 1289 ( $T_{N-1} = 62^\circ\text{C}$ ), в (27) можно использовать средние значения параметров. Для расчетов и анализа экспериментальных результатов [1] использовались следующие значения параметров:  $L = 40\ \mu\text{m}$ ,  $\Lambda = 100\ \mu\text{m}$ ,  $K_1 = 1.35 \cdot 10^{-11}\ \text{N}$ ,  $K_3 = 1.5 \cdot 10^{11}\ \text{N}$ ,  $C = c_{\text{sp}}\rho = 3 \cdot 10^6\ \text{J}/(\text{m}^3\text{K})$ ,  $\lambda_{\perp} = 0.15\ \text{W}/(\text{m} \cdot \text{K})$ ,  $\lambda_{\parallel} = 0.35\ \text{W}/(\text{m} \cdot \text{K})$ ,  $\gamma = 0.1\ \text{Pa} \cdot \text{s}$ .

Формально к подгоночным параметрам, варьируемым для сравнения с экспериментальными и численными данными, относятся значения  $\alpha'_a$  и  $\gamma'$  (27), зависящие от неизвестной величины  $\alpha_a$  и не определяемые точно в эксперименте параметра теплоотдачи  $g$  или  $T_L$ . Оценивая численные значения для безразмерных параметров уравнения теплопроводности, получим:  $\lambda' = 33$ ,  $\gamma' = 7 \cdot 10^{-6}/T_L \ll \lambda'$ . Отсюда следует, что влиянием вязкого тепловыделения на процесс термоориентации можно пренебречь, и число варьируемых параметров сократится до единственного  $\alpha'_a$ . Численный анализ уравнений (25) показал, что качественные изменения в характере их решений (например, формирование волновых процессов) происходят при значениях  $\lambda' = 1$ ,  $\gamma' \geq 0.05$ .

Проведенные численные исследования уравнений (25) с граничными условиями (26) дали хорошее качественное совпадение с экспериментальными данными [1]. Достаточно простое объяснение получила несимметричность области просветления относительно краев нагревательного элемента. Симметрия исчезает при наличии отклонения директора на границе от нормального (гомеотропного) направления  $\theta_0 \neq 0$  в (26). Наилучшее совпадение с экспериментальными данными было получено при  $\theta_0 = 7 \cdot 10^{-3}\ \text{rad}$ .

Некоторые результаты расчетов приведены на рисунках. На трехмерных графиках установившихся значений на рис. 1, 2 показаны поверхности величины угла отклонения директора и температурного поля соответственно. Область значений приведена на площади от середины первого нагревателя ( $x = 0$ ) до середины третьего нагревателя ( $x = 200\ \mu\text{m}$ ). Нагревательные элементы расположены вдоль оси  $x$  на поверхности  $y = L = 40\ \mu\text{m}$ . Размеры даны в микрометрах и соответствуют условиям эксперимента [1].

На рис. 1 представлены поверхности угла отклонения директора  $\theta$  для трех различных значений параметра  $\alpha'_a$ . Максимальная переориентация директора (угол отклонения) наблюдается вблизи краев нагревателей, где максимален градиент температуры (рис. 2). Знаки угла отклонения директора  $\theta$  различны у краев нагре-

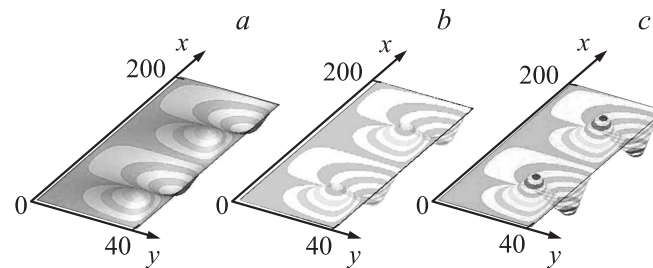


Рис. 1. Поверхности угла отклонения директора от начального значения для различных величин параметра  $\alpha'_a$ :  $a$  — 150,  $b$  — 300,  $c$  — 600.

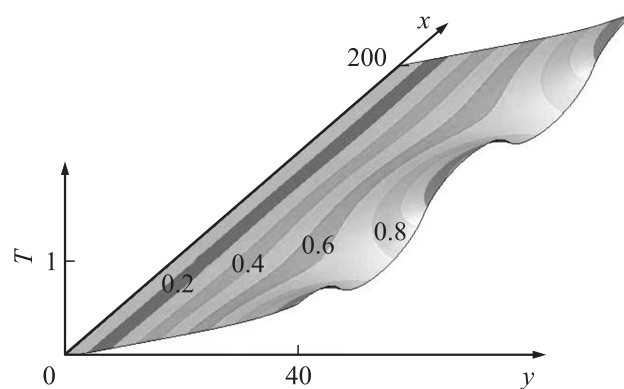


Рис. 2. Распределение температуры между подложками.

вателя и соответствуют противоположным направлениям теплового потока вдоль продольной координаты  $x$ . Деформация растёт с увеличением теплового потока. Температурное поле между подложками при  $\alpha'_a = 300$  представлено на рис. 2. Форма поверхности при  $\gamma' \ll \lambda'$  практически не зависит от величины теплового потока.

На рис. 3 приведена динамика процесса переориентации директора. Кривая 1 — среднее значение квадрата  $x$ -компоненты директора  $(n_x)^2 = \sin^2\theta$  по объёму (по площади расчетной области), 2 — среднее значение

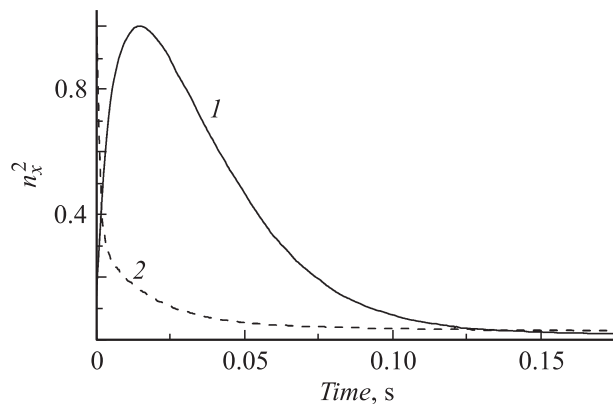


Рис. 3. Изменение средних (нормированных) значений квадрата  $x$ -компоненты директора (1) и квадрата градиента температуры (2) от безразмерного времени.

квадрата градиента температуры также по объему. Как видно из рисунка, градиент температуры монотонно убывает по времени, кривая отклонения директора в начальный момент достигает максимума, затем монотонно спадает. Полученный характер поведения решения уравнений по времени качественно хорошо согласуется с экспериментальными наблюдениями [1], в которых в момент включения питания нагревателей наблюдается резкое увеличение количества и контраста полос, которые затем плавно убывают.

Для вычисления термоориентационного коэффициента  $\alpha_a$  была проведена подгонка (вариацией безразмерного параметра  $\alpha'_a$ ) расчетной функции пропускания образца НЖК в установившемся режиме к аналогичной величине, полученной экспериментально. Для большей достоверности данная процедура повторялась для нескольких тепловых потоков и соответствующих им функций пропускания. На рис. 4 приведены три варианта расчета, соответствующие разным значениям  $\alpha'_a$ , и экспериментальная кривая. Наилучшее согласие с экспериментом демонстрирует зависимость, полученная при  $\alpha'_a = 300$ .

При вычислении коэффициента  $\alpha_a$  для найденной безразмерной величины  $\alpha'_a$  (27) необходимо иметь значение параметра теплоотдачи  $g$ , который в условиях эксперимента [1] было достаточно сложно точно измерить. Определить  $g$  можно, усложнив задачу расчета теплового баланса и учитывая теплоотдачу через верхнюю стеклянную пластину в атмосферу. Стекло, используемое в [1], имеет теплопроводность  $\lambda_{gl} \approx 1 \text{ W}/(\text{m} \cdot \text{K})$  и толщину  $d = 1 \text{ mm}$ , что намного больше толщины слоя НЖК  $L = 40 \mu\text{m}$  ( $d \gg L$ ). При таких параметрах в установившемся режиме эксперимента [1] коэффициент теплоотдачи приближенно определяется значением  $g \approx 0.02 \text{ W}/(\text{m} \cdot \text{K})$ . В результате подгонки находим параметр термоориентационного коэффициента  $a_a = 3.2 \cdot 10^{-11} \text{ N}/\text{K}^2$ . Это значение вполне согласуется с оценкой, полученной из размерностных соотношений (10).

Эксперимент, подробно изложенный в [1], и соответствующая ему численная модель, приведенная в настоящей работе, реализованы в двумерной постановке. Возможно также одномерная постановка задачи наблюдения термоориентационного эффекта, соответствующая пороговой переориентации директора из планарного состояния в гомеотропное под действием однородного в продольном направлении поля градиента температур. Эта постановка задачи аналогична наблюдаемому S-эффекту Фредерикса [16] в магнитном или электрическом полях. Для демонстрации одномерной тепловой переориентации были проведены соответствующие эксперименты и расчеты. В экспериментах использовалась подложка со сплошным ИТО — покрытием, служившим однородным нагревателем в отличие от решетчатого покрытия из работы [1]. На аналогичном использованному в эксперименте [1] оборудовании в режиме заданного однородного теплового потока на одной из ограничивающих

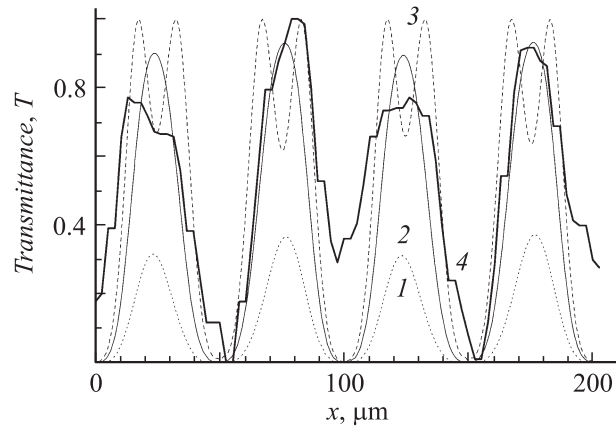


Рис. 4. Расчетные (1–3) и экспериментально полученная (4) стационарные зависимости пропускания линейно поляризованного света от поперечной координаты  $x$ .

плоскостей не удалось достичь стационарного градиента температуры, обеспечивающего изменение пропускания более чем на  $\sim 10\%$ .

Экспериментальные точки зависимости прозрачности образца (яркость изображения) от плотности теплового потока  $W$  приведены на рис. 5. При таких параметрах невозможно было зафиксировать пороговые характеристики процесса и провести достаточно корректное количественное сравнение наблюдаемых зависимостей с численными расчетами. В качественном отношении экспериментальные и численные данные находились в хорошем согласии. В динамике процесс тепловой переориентации аналогичен двумерному случаю, показанному на рис. 3. Максимум угла отклонения директора от тангенциального направления и высокая яркость изображения, возникающие в начальный момент, по отношению к установившемуся значениям могут различаться в несколько раз. Авторы посчитали подобные характеристики процесса недостаточно убедительными, чтобы

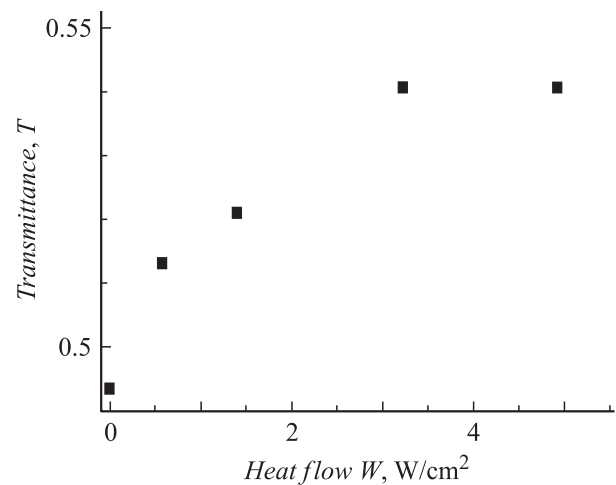


Рис. 5. Экспериментальная зависимость прозрачности образца от теплового потока  $W$ .

однозначно трактовать экспериментальные данные как доказательство термоориентационного явления.

## Заключение

Результаты, изложенные в [1] и настоящей работе, по мнению авторов, достаточны для доказательства существования термоориентационных явлений в зеркально симметричных ЖК. Проведенные исследования данного эффекта позволили обосновать теоретическую модель с квадратичной зависимостью относительно градиента температуры или теплового потока отклонения директора от невозмущенного исходного состояния. Тепловая переориентация является новым физическим свойством ЖК и может дать дополнительную информацию о молекулярном строении анизотропных жидкостей. Существование квадратичного термоориентационного эффекта необходимо учитывать при расчете термодинамических характеристик жидкокристаллических сред.

Обнаруженная восприимчивость ЖК к тепловым потокам, аналогичная взаимодействию с электромагнитными полями при эффекте Фредерикса, в дальнейшем может иметь прикладное значение, например, для разработки индикаторов и устройств отображения и преобразования тепловой информации.

Авторы выражают благодарность академику С.К. Годуну за обсуждение вопроса термодинамической непротиворечивости математической модели и других материалов данной работы.

Работа частично финансируется по проекту РФФИ № 09-02-00527.

## Список литературы

- [1] Деменев Е.И., Поздняков Г.А., Трашкев С.И. // Письма в ЖТФ. 2009. Т. 35. Вып. 14. С. 76.
- [2] Lehmann O. // Annalen Phys. 1900. Vol. 2. N 4. P. 649.
- [3] Leslie F.M. // Proc. Roy. Soc. A. 1968. Vol. 307. P. 359.
- [4] Акопян Р.С., Зельдович Б.Я. // ЖЭТФ. Т. 87. 1984. Вып. 5. (11). С. 1660.
- [5] Лаврентович О.Д., Настишин Ю.А. // Укр. физ. журн. 1987. Т. 32. № 5. С. 710.
- [6] Акопян З.С., Алавердян Р.Б., Нерсисян С.Ц. и др. // ЖТФ. 1999. Т. 69. Вып. 4. С. 122.
- [7] Brand H.R., Pleiner H. // Phys. Rev. A. 1987. Vol. 35. N 7. P. 3123.
- [8] Akopyan R.S., Alaverdian R.B., Santrosian E.A. et al. // J. Appl. Phys. 2001. Vol. 90. N 7. P. 3371.
- [9] Акопян Р.С., Зельдович Б.Я., Сеферян Г.Е. // ЖЭТФ. 2004. Т. 126. Вып. 5(11). С. 1192.
- [10] Gongjian H., Palfy-Muhoray P. // Mol. Cryst. Liq. Cryst. 1997. Vol. 304. P. 447.
- [11] Пикин С.А. Структурные превращения в жидких кристаллах. М.: Наука. 1981. 336 с.
- [12] Акопян Р.С., Зельдович Б.Я. // ЖЭТФ. 1982. Т. 83. Вып. 6 (12). С. 2137.
- [13] Ландау Л.Д., Лифшиц Е.М. Теория упругости. М.: Наука, 1987. 248 с.
- [14] Томилин М.Г., Пестов С.М. Свойства жидкокристаллических материалов. СПб.: Политехника, 2005. 296 с.
- [15] Сонин А.С. Введение в физику жидких кристаллов. М.: Наука, 1983. 320 с.
- [16] Блинов Л.М. Электро- и магнитооптика жидких кристаллов. М.: Наука, 1978. 384 с.